



ОБЪЕДИНЕННЫЙ ИНСТИТУТ ЯДЕРНЫХ ИССЛЕДОВАНИЙ  
ЛАБОРАТОРИЯ НЕЙТРОННОЙ ФИЗИКИ

---

В.И. Лушиков, А.А. Маненков, Ю.В. Таран

760

ДИНАМИЧЕСКАЯ ПОЛЯРИЗАЦИЯ ПРОТОНОВ  
В ОБЛУЧЕННОМ ПОЛИЭТИЛЕНЕ

В.И. Лущиков, А.А. Маненков,<sup>x/</sup> Ю.В. Таран

ДИНАМИЧЕСКАЯ ПОЛЯРИЗАЦИЯ ПРОТОНОВ  
В ОБЛУЧЕННОМ ПОЛИЭТИЛЕНЕ

Научно-техническая  
библиотека  
ОИЯИ

<sup>x/</sup> Физический Институт им. П.Н. Лебедева АН СССР.

## Введение

В последнее время, благодаря открытию Ubersfeld'ом, Erb'ом и Motchane<sup>/1/</sup> и независимо Proctor'ом и Abragam<sup>/2/</sup> динамической ориентации ядер в твердых парамагнитных телах, сильно возрос интерес к радиочастотной ориентации ядер. Появилось большое количество работ, посвященных как выяснению сущности явления, так и его использованию для создания ориентированных мишеней. Успехи, достигнутые Hwang'ом<sup>/3/</sup>, Jeffries'ом<sup>/4/</sup>, Abraham'ом<sup>/5/</sup>, Borghini<sup>/6/</sup>, позволяют надеяться, что в настоящее время возможно создание мишени, содержащей ориентированные протоны со степенью поляризации большей 25%.

Перспективным материалом для протонной мишени является полиэтилен, который имеет плотность в два раза большую, чем чистый жидкий водород /0.14 граммолекулы на 1 см<sup>3</sup> для полиэтилена и 0.07 г-м для жидкого водорода/. Для создания парамагнитных центров в полиэтилене можно использовать радиоактивные излучения /протоны, быстрые нейтроны,  $\gamma$ -лучи и электроны/. При температуре 1.2°К Hwang<sup>/3/</sup> получил наибольшее усиление сигнала ядерного магнитного резонанса /ЯМР/  $\eta = 40$  для полиэтилена высокой плотности, облученного быстрыми нейtronами в Аргонском реакторе, что соответствует поляризации протонов 1.2%. Интересной особенностью, отмеченной Hwang'ом, является то, что при понижении температуры от 77°К до 1.2°К усиление уменьшается в два раза. Измерение времен релаксации, сделанное в<sup>/3/</sup>, не объяснило этот эффект.

Целью данной работы являлось выяснение возможности создания мишени, содержащей ориентированные протоны. Были измерены времена ядерной и электронной релаксации. Статья содержит описание более детальных экспериментов с облученным полиэтиленом, чем выполнены Hwang'ом. Работа является предварительным этапом в серии экспериментов по созданию ориентированной мишени.

### 1. Описание установки

Блок-схема установки для одновременного наблюдения ядерного магнитного резонанса и электронного парамагнитного резонанса /ЭПР/ при гелиевых температурах показана на рис. 1. В резонаторе возбуждались колебания типа  $H_{102}$  с частотой  $\nu_a = 8.3$  к мгц. Образец помещался в высокочастотное магнитное поле  $H_{1\alpha}$ . Высокочастотный генератор на кластроне обладал мощностью порядка 20 мвт. Для стабилизации частоты кластрона использовалась система автоматической подстройки частоты /АПЧ/ относительно собственной частоты резонатора, в котором находился исследуемый образец <sup>/7/</sup>. Расположение контура ЯМР генератора представляло довольно сложную задачу. Было испробовано несколько вариантов.

1/ Внутренний контур. Контур из 7-9 витков тонкого (0,2 мм) мёдного провода в эмалевой изоляции наматывался на образец. Концы контура через специальные щели в резонаторе выводились наружу и через коаксиальный кабель соединялись с регистрирующей схемой. В этом варианте осуществлялись две модификации: /1/ ось контура перпендикулярна внешнему магнитному полю  $H_0$  так, что  $H_0$ ,  $H_{1\alpha}$  и магнитное поле контура  $H_{1\alpha}$  представляют тройку взаимно-перпендикулярных векторов /рис. 2/ и /2/ ось контура составляет малый угол с  $H_0$  /рис. 3/.

2/ Внешний контур. Контур наматывался на резонатор, стенки которого были сформированы до толщины  $0.2 \pm 0.3$  мм для уменьшения экранирующего действия на контур ЯМР - генератора. Вдоль оси резонатор был разрезан, чтобы устранить короткозамкнутый виток.

3/ Комбинированный контур. В этом случае малая часть витков наматывалась прямо на образец в модификации /1/, а большая часть витков располагалась вблизи ЯМР - генератора. Детектором сигнала ЯМР служила модифицированная автодинная схема на лампе 6Ж11П /рис.4/. Ядерная частота  $\nu_a = 14$  мгц. Сигнал ЯМР наблюдался при прохождении ядерной частоты через резонансное значение при фиксированном магнитном поле. Частотное прохождение осуществлялось с помощью врачающегося конденсатора  $C_p$  /рис.4/, связанного через редуктор с осью электромо-

тора. Чтобы избежать насыщения по ядерной частоте, генератор работал на минимально достижимом уровне колебаний /вблизи границы срыва генерации/. При этом частотное прохождение меняло уровень генерации. Для стабилизации уровня применялась автоматическая подстройка уровня генерации /АПУ/. Амплитуда генерируемого сигнала усиливалась УВЧ /Л<sub>2</sub>/ и детектировалась диодом /Л<sub>3</sub>/.

Продетектированное напряжение через RC -цепь с большой постоянной времени подавалось на сетку генераторной лампы /Л<sub>1</sub>/ и тем самым регулировало смещение на сетке генератора, поддерживая постоянный уровень высокочастотных колебаний. Система АПУ в то же время позволяла достичнуть очень малых уровней генерации. Так, при температуре жидкого гелия уровень генерации легко получался порядка 0,005 вольта.

Внешнее магнитное поле модулировалось с частотой 860 Гц на глубину порядка 1 э, значительно меньшую ширины линии ЯМР в полиэтилене. После детектирования сигнал ЯМР поступал последовательно на двухкаскадный усилитель низкой частоты на лампе 6Н3П, резонансный усилитель, настроенный на частоту 880 Гц, и синхронный детектор. Запись сигнала производилась на самописец ЭПП-0,9. Эта система обеспечивала при гелиевых температурах для неусиленного сигнала ЯМР фактор сигнал/шум порядка 50/1.

## 2. Образцы полиэтилена

Образцы изготавливались из полиэтилена различных сортов. Полиэтилен высокого давления имеет малую плотность ( $\rho \approx 0.90 - 0.92 \frac{\text{г}}{\text{см}^3}$ ).

Полиэтилен низкого давления имеет большую плотность

( $\rho \approx 0.95 - 0.97 \frac{\text{г}}{\text{см}^3}$ ). Полиэтилен низкого давления был взят с различной вязкостью. Вязкость непосредственно характеризует средний молекулярный вес полимерной цепочки полиэтилена.

Исследовались следующие образцы:

/1/ ПЭВП1М -полиэтилен высокой плотности с вязкостью 3.2 пз, что соответствует среднему молекулярному весу полимерной цепочки

$4 \times 10^5$ . Прессовка производилась из гранул. Размер образца  $17 \times 9 \times 7$  мм /  $\sim 1.0 \text{ см}^3$ .

/2/ ПЭВП1Б -полиэтилен высокой плотности с вязкостью 3.2 пз. Прессовка из гранул происходила в несколько других условиях, чем для ПЭВП1М. Размер образца  $21 \times 9 \times 7$  мм /  $\sim 1.3 \text{ см}^3$ .

/3/ ПЭВП2 -полиэтилен высокой плотности с вязкостью 2.6 пз, что соответствует молекулярному весу  $2 \times 10^5$  /вдвое меньше, чем для ПЭВП1/. Размер такой же как ПЭВП1Б.

/4/ ПЭНП - полиэтилен низкой плотности .

Размер образца как у ПЭВП1М.

Образцы облучались быстрыми нейтронами в тяжеловодном реакторе ИТЭФ АН СССР в течение 20 часов при температуре  $65^\circ\text{C}$  /интегральная доза облучения  $7 \times 10^{17}$  нейтр.см $^{-2}$  /. После облучения образцы имели  $\gamma$  -активность порядка 100 мкр/сек.  $\beta$  -активность практически отсутствует. Так как ядро  $\text{C}^{12}$  /химическая формула полиэтилена  $\text{CH}_2$ / после захвата нейтрона образует стабильный изотоп  $\text{C}^{13}$ , которого мало в естественной смеси изотопов и который очень слабо активируется /период полураспада изотопа  $\text{C}^{14}$  5500 лет/, то активность вероятно вызывается загрязнениями /т.н. зольность полиэтилена/. После трехсуточного выдерживания образцов в жидкком азоте /для сохранения  $\text{F}$  -центров/ активность падала ниже безопасно допустимого уровня.

### 3. Экспериментальные результаты

Увеличение поляризации протонов характеризуется коэффициентом динамического усиления  $\eta$ , равного отношению сигнала ЯМР при наличии насыщения электронного резонанса  $\text{F}$  -центров к сигналу ЯМР в отсутствии насыщения  $\text{F}$  -центров. Обозначим частоту разрешенной линии ЭПР через  $\omega_\text{э}$ , соответствующее поле —  $H_0\text{э}$ . Сверхтонкая структура электронного резонанса для полиэтилена не разрешена. Коэффициент динамического усиления при насыщении "запрещенного" перехода  $\omega_\text{э} + \omega_\text{я}$

/соответствующее поле  $H_{0\vartheta} \left(1 - \frac{\mu_{\text{я}}}{\mu_{\vartheta}}\right)$  / обозначим через  $\eta_-$ , аналогично для перехода  $\omega_{\vartheta} - \omega_{\text{я}}$  через  $\eta_+$  /рис. 5/.

Сравнение образцов производилось при температуре  $77^{\circ}\text{K}$ . Мощность, насыщающая ЭПР, равна 20 мвт. Использовался внутренний контур в модификации /1/. Схема в диапазоне уровней генерации ЯМР  $V_g = 0.05 \div 0.2$  вольта была линейной /коэффициент динамического усиления  $\eta$  не зависит от  $V_g$ /. Рабочий уровень генерации  $V_g = 0.1$  в. Результаты измерений представлены в таблице 1.

Т а б л и ц а 1.

О б р а з ц ы	$\eta_-$	$\eta_+$
ПЭВП1М	$22 \pm 2$	$25 \pm 2$
ПЭВП1Б	$15 \pm 2$	$18 \pm 2$
ПЭВП2	$10 \pm 2$	$14 \pm 2$
ПЭНП	$3 \pm 1$	$3 \pm 1$

ПЭВП1М дал наибольшее усиление. Полиэтилен с меньшим молекулярным весом дал меньшее усиление при той же дозе облучения. Отличие ПЭВП1М и ПЭВП1Б, возможно, вызвано разными условиями прессовки образцов из гранул.

Было измерено время ядерной спин-решеточной релаксации  $T_{1\text{я}}$  при  $77^{\circ}\text{K}$ . Измерение  $T_{1\text{я}}$  производилось следующим образом. Частота генератора ЯМР настраивалась на резонансное значение так, что самописец чертил максимальную амплитуду сигнала, затем выключался кристалл, насыщающий ЭПР F-центров. Амплитуда сигнала экспоненциально спадала до значения, соответствующего неусиленному сигналу. Рост и спад усиленного сигнала описывается одной экспонентой со временем  $T_{1\text{я}} = 1/2 \pm 0.2/\text{сек.}$

Типичная релаксационная картина показана на рис. 6. Запись усиленного и неусиленного сигналов ЯМР показана на рис. 7.

Ширины усиленного и неусиленного сигналов ЯМР равны и

поэтому коэффициент динамического усиления брался как отношение максимальных значений производных этих сигналов.

При гелиевой температуре изучались различные варианты расположения контура ЯМР. При температуре  $4.2^{\circ}\text{K}$  добротность резонатора с образцом и контуром, помещенными внутрь резонатора, равнялась  $Q = 2000$ . Температура  $1.6^{\circ}\text{K}$  получалась с помощью откачки паров гелия форвакуумным насосом РВН-20. Интересно отметить, что при переходе от комнатной температуры к азотной, ширина сигнала ЯМР сильно увеличивалась. При понижении температуры от  $77^{\circ}\text{K}$  до  $1.6^{\circ}\text{K}$  ширина линии практически не изменилась. Это согласуется с работой<sup>/8/</sup>.

Эксперименты при гелиевой температуре производились с образцом ПЭВП1М, имеющим при  $77^{\circ}\text{K}$  усиление  $18 \pm 3$ .

Внутренний контур, модификация /1/. При температуре  $4.2^{\circ}\text{K}$  и уровне генерации  $V_g = 0.006$  в получено усиление  $\eta_- = 18 \pm 2$ ;  $\eta_+ = 16 \pm 2$ . Измерения  $\eta$  с разными значениями  $V_g$  показали зависимость  $\eta$  от  $V_g$ . Например,  $\eta_+$  с 16 при 0.006 в упало до 6 при 0.02 в.

При температуре  $1.6^{\circ}\text{K}$  получено  $\eta_+ = 11 \pm 2$ ,  $\eta_- = 42 \pm 3$  при  $V_g = 0.006$  в.

Измерения при  $1.6^{\circ}\text{K}$  дают  $\eta_- > \eta_+$ . Такое различие между  $\eta_+$  и  $\eta_-$  связано с нелинейными эффектами в схеме ЯМР - спектрометра, которые возникают тогда, когда мощность, поглощаемая или излучаемая при ЯМР поляризованными протонами, сравнима с мощностью, подводимой в колебательный контур ЯМР - спектрометра. Линия излучения ЯМР при поле  $H_0 \left(1 - \frac{\mu_{\text{я}}}{\mu_{\text{э}}}\right)$ , соответствующая отрицательной поляризации протонов, приводит к регенерации колебательного контура генератора ЯМР, поскольку вносит отрицательные потери в контур, компенсирующие положительные омические потери. Это эквивалентно увеличению добротности контура, приводящему к увеличению уровня генерации. Если излучаемая протонами мощность достаточно велика, чтобы скомпенсировать омические потери в контуре, наступает эффект усиления колебаний в контуре. Получающийся квантовый усилитель на частоте ЯМР может при некоторых условиях самовозбудиться. Мы не иссле-

довали детально этот эффект, однако наблюдали при  $1.6^{\circ}\text{K}$  значительное увеличение уровня колебаний в контуре ЯМР -спектрометра при отрицательной поляризации протонов. При положительной поляризации протонов, которой соответствует коэффициент  $\eta_+$ , наблюдалось значительное уменьшение уровня колебаний в контуре. Отметим, что наблюдаемые эффекты были значительными, т.к. они не устранились даже схемой АРУ.

Эти эффекты приводили к амплитудной нелинейности ЯМР -спектрометра и объясняют, что при  $1.6^{\circ}\text{K}$   $\eta_- > \eta_+$ . При  $4.2\text{K}$  влияние этих эффектов было несущественным.

Были сделаны измерения с целью определения мощности, необходимой для насыщения ЭПР при температуре  $4.2^{\circ}\text{K}$ . Результаты показаны на рис. 8. Мощность кластрона, необходимая для насыщения ЭПР, оказалась равной 1 мвт при добротности резонатора  $Q = 2000$ . Естественно, с понижением температуры мощность насыщения будет уменьшаться.

Измерение времени спада и нарастания сигнала ЯМР при выключении и включении микроволновой мощности, соответственно, выявило интересные детали. Релаксация усиленного сигнала после выключения кластрона описывается двумя временами:  $T_{\text{я}}'$  -короткое время и  $T_{\text{я}}''$  -длинное.  $T_{\text{я}}$  - это время спин-решеточной ядерной релаксации. При включении кластрона, насыщающего ЭПР  $F$ -центров, сигнал ЯМР нарастает до значения, соответствующего усиленному сигналу. Рост сигнала описывается также суммой двух экспонент с временами  $t_{\text{оя}}'$  и  $t_{\text{оя}}''$ . Величины  $t_{\text{оя}}'$ ,  $t_{\text{оя}}''$ ,  $T_{\text{я}}'$  и  $T_{\text{я}}''$  были измерены при температуре  $1.6^{\circ}\text{K}$  и  $4.2^{\circ}\text{K}$ .

Результаты приведены в таблице 2.

Таблица 2

Т°К	$T_{\text{я}}'$	$T_{\text{я}}''$	$t_{\text{оя}}'$	$t_{\text{оя}}''$	$\frac{t_{\text{оя}}'}{T_{\text{я}}'}$	$\frac{t_{\text{оя}}''}{T_{\text{я}}''}$
1.6	$50 \pm 10$	$150 \pm 20$	$23 \pm 5$	$80 \pm 10$	0.45	0.53
4.2	$17 \pm 3$	$67 \pm 10$	$17 \pm 3$	$66 \pm 10$	1.0	1.0

При температуре  $4.2^{\circ}\text{K}$  времена разрушения и восстановления поляризации совпадают. При  $1.6^{\circ}\text{K}$  время восстановления поляризации в два раза короче, чем время разрушения. Вклад короткой экспоненты в релаксацию при  $4.2^{\circ}\text{K}$  порядка 30%. Присутствие в релаксации двух экспонент можно объяснить наличием двух групп протонов, имеющих разные времена релаксации. Первую группу составляют протоны, находящиеся вблизи  $\text{F}$ -центров и имеющие короткое время релаксации. Вторую группу составляют протоны, удаленные от парамагнитных центров. Поляризация к последним передается посредством спиновой диффузии.

Присутствие двух экспонент в релаксации демонстрируется на рис. 9. Из общей кривой "а" вычен длинный хвост "в". Точки ложатся на прямую "с".

Типичные релаксационные картины показаны на рис. 10 и 11. Сопоставление времен спин-решеточной релаксации при температурах  $4.2^{\circ}\text{K}$  и  $1.6^{\circ}\text{K}$  показывает, что в диапазоне температур  $1.6^{\circ}\text{--}4.2^{\circ}\text{K}$   $T_1'$  и  $T_2'$  изменяются по закону  $T \sim T^{-1}$ .

Как уже отмечалось, схема с внутренним контуром в модификации /1/ работает нелинейно. Поэтому были исследованы другие варианты расположения контура.

Внешний контур. Казалось бы, вариант с внешним контуром является очень перспективным. Связь образца с контуром сильно ослаблена /внутри резонатора поле ослабляется почти в 10 раз/ и поэтому эффекты, имеющие место в случае внутреннего контура, должны отсутствовать. Однако схема с внешним контуром оказалась сильно нелинейной. Коэффициент динамического усиления значительно зависел от уровня генерации  $V$ . Причем для  $\eta_-$  и  $\eta_+$  нелинейности были различные. Измерения времен ядерной релаксации при  $4.2^{\circ}\text{K}$  дали  $T_1' = /20 \pm 4/ \text{ сек}$  и  $T_2' = /90 \pm 15/ \text{ сек}$ , что в пределах ошибок согласуется с измерениями на внутреннем контуре.

Комбинированный контур. Далее был исследован вариант с комбинированным контуром. Два витка наматывались непосредственно на обрат эец, 15 витков выносились из криостата и располагались рядом с ЯМР-

-генератором. Измерения усиления при  $4.2^{\circ}\text{K}$  были сделаны в диапазоне уровней генерации  $V_g = /0.04 - 0.4/$  в. Коэффициент усиления  $\eta$  при этом изменялся от 15 до 24. Ошибка измерения равнялась  $\pm 4$ . Таким образом в пределах удвоенной ошибки измерений значения  $\eta_-$  при разных  $V_g$  перекрывались и дали среднее значение  $\eta_- = 19 \pm 4$ . Аналогичные измерения для  $\eta_+$  дали среднее значение  $20 \pm 3$ .

### Внутренний контур, модификация /2/

Во всех исследованных вариантах расположения контура не имелось возможности непосредственно проверить линейность регистрирующей схемы. Такую возможность создает вариант с внутренним контуром в модификации /2/, когда направление внешнего поля  $H_0$  и ось контура ЯМР /рис. 3/ могут быть сделаны параллельными /это достигалось вращением магнита/. Изменение угла  $a$  между  $H_0$  и осью конутра от  $90^{\circ}$  до  $0^{\circ}$  уменьшает компоненту радиочастотного магнитного поля  $H_{1y}$ , перпендикулярную  $H_0$ , по закону  $H_{1y} \sim \sin a$ . Если отсутствует насыщение по ядерной частоте, амплитуда сигнала ЯМР должна меняться по закону  $H_{1y}^2 \sim \sin^2 a$ . Например, при повороте магнита от  $90^{\circ}$  до  $45^{\circ}$  сигнал ЯМР должен уменьшиться в два раза; соответственно, от  $90^{\circ}$  до  $30^{\circ}$  в 4 раза. Таким образом, если измерения дают, что амплитуда сигнала ЯМР меняется по закону  $\sim \sin^2 a$ , то регистрирующая схема является линейной.

Эксперименты с этим вариантом расположения контура были проведены при температурах  $4.2^{\circ}\text{K}$  и  $1.6^{\circ}\text{K}$ .

Температура  $4.2^{\circ}\text{K}$ . При уровне генерации  $V_g = 0.014$  в схема ЯМР была линейна с хорошей точностью. Экспериментальные точки на рис. 12 хорошо совпадают с законом  $\sin^2 a$ . Усиление равно  $\eta_- = 21 \pm 3$ . Повышение уровня генерации в три раза привело к заметному насыщению резонанса /рис. 12/. Усиление в этом случае не изменилось и равнялось  $\eta_- = 20 \pm 3$ .

Температура  $1.6^{\circ}\text{K}$ . При уровне генерации  $V_g = 0.0084$  в схема ЯМР была также линейной. Коэффициенты усиления при  $a = 90^{\circ}$  и  $30^{\circ}$  совпадали и равнялись  $\eta = 18 \pm 3$ . Повышение уровня генерации до

0.045 в привело к заметному насыщению резонанса. Измерения при  $\alpha = 80^\circ, 30^\circ$  и  $5^\circ$  дали результаты, совпадающие в пределах экспериментальных ошибок со средним значением  $\eta_{\text{--}} = 20 \pm 3$ . Типичная запись усиленного и неусиленного сигналов ЯМР показана на рис. 13.

Измерение времени спин-решеточной релаксации при  $T = 4.2^\circ\text{K}$  дает  $T_{1,y}^* = /18 \pm 3/ \text{ сек}$  и  $T_{1,y}'' = /70 \pm 15/ \text{ сек}$ , что согласуется с прежними результатами. С понижением температуры до  $1.6^\circ\text{K}$  изменение времени спин-решеточной релаксации происходит приблизительно как  $T_{1,y} \sim T^{-1}$ .

Последние измерения с внутренним контуром в модификации /2/ достаточно надежны, чтобы сделать следующий вывод.

В диапазоне  $1.6^\circ - 77^\circ\text{K}$  коэффициент динамического усиления от температуры существенно не зависит. Этот результат противоречит данным Hwang'a /3/, который наблюдал систематическое падение усиления в два раза при переходе от азотных температур к гелиевым.

Измерение времени электронной спин-решеточной релаксации  $T_{1,\text{e}}$  производилось при  $1.6^\circ\text{K}$  и  $4.2^\circ\text{K}$  на супергетеродинном радиоспектрометре методом импульсного насыщения /8/.

Типичные релаксационные кривые показаны на рис. 14 и 15. Времена спин-решеточной релаксации оказались равными  $T_{1,\text{e}} = /200 \pm 20/ \text{ м сек}$  при  $4.2^\circ\text{K}$  и  $T_{1,\text{e}} = /440 \pm 30/ \text{ м сек}$  при  $1.6^\circ\text{K}$ , изменяясь с температурой приблизительно по закону  $T^{-1}$ .

В наших экспериментах получено максимальное динамическое усиление поляризации протонов  $\eta = 20$ . Максимальное значение коэффициента динамического усиления, предсказываемое теорией в случае разрешенной сверхтонкой структуры электронного резонанса /4/, равно  $\eta_{\text{max}} = \frac{\mu_{\text{e}}}{\mu_{\text{я}}} (1+f)^{-1}$ , где  $\mu_{\text{e}}$  — магнитный момент электрона,  $\mu_{\text{я}}$  — магнитный момент протона /  $\frac{\mu_{\text{e}}}{\mu_{\text{я}}} = 680/$ ,  $f = \frac{n}{N} \frac{T_{1,\text{e}}}{T_{1,y}}$ ,  $n, N$  — количество протонов и F-центров в  $1\text{ см}^3$ , соответственно. Используя измеренные значения  $T_{1,\text{e}}$  и  $T_{1,y}$ , можно оценить величину  $f$  для нашего случая. Грубая оценка дает  $f \sim 50$ , соответственно,  $\eta_{\text{max}} \sim 10$ .

При  $f \gg 1$   $\eta_{\text{max}} \sim \frac{1}{f} \sim N$ .

В связи с этим интересно проверить, как сильно меняется коэффициент динамического усиления с уменьшением количества  $F^-$ -центров. Образец облученного полиэтилена выдерживался при комнатной температуре около 30 часов. Количество  $F^-$ -центров должно уменьшиться в 3.5 раза, если время жизни  $F^-$ -центров при этой температуре считать равным 1 суткам<sup>/3/</sup>. Усиление при этом упало до  $\eta = 14 \pm 2$ , т.е. на 30%. Это означает, что концентрация  $F^-$ -центров, достигнутая при облучении, находилась не очень далеко от значения, соответствующего максимальной достижимой поляризации протонов. Причины этого расхождения надо искать в том, что для полиэтилена сверхтонкая структура электронного резонанса не является разрешенной, что приводит к уменьшению динамического усиления при насыщении одной из "запрещенных" линий за счет частичного насыщения другой "запрещенной" линии, дающей усиление с обратным знаком. Тем не менее, оптимальная концентрация  $F^-$ -центров возможно не была достигнута. В связи с этим интересно провести накопление  $F^-$ -центров при азотной температуре, при которой время жизни  $F^-$ -центров очень велико. Подобный эксперимент находится в стадии подготовки.

#### Заключение

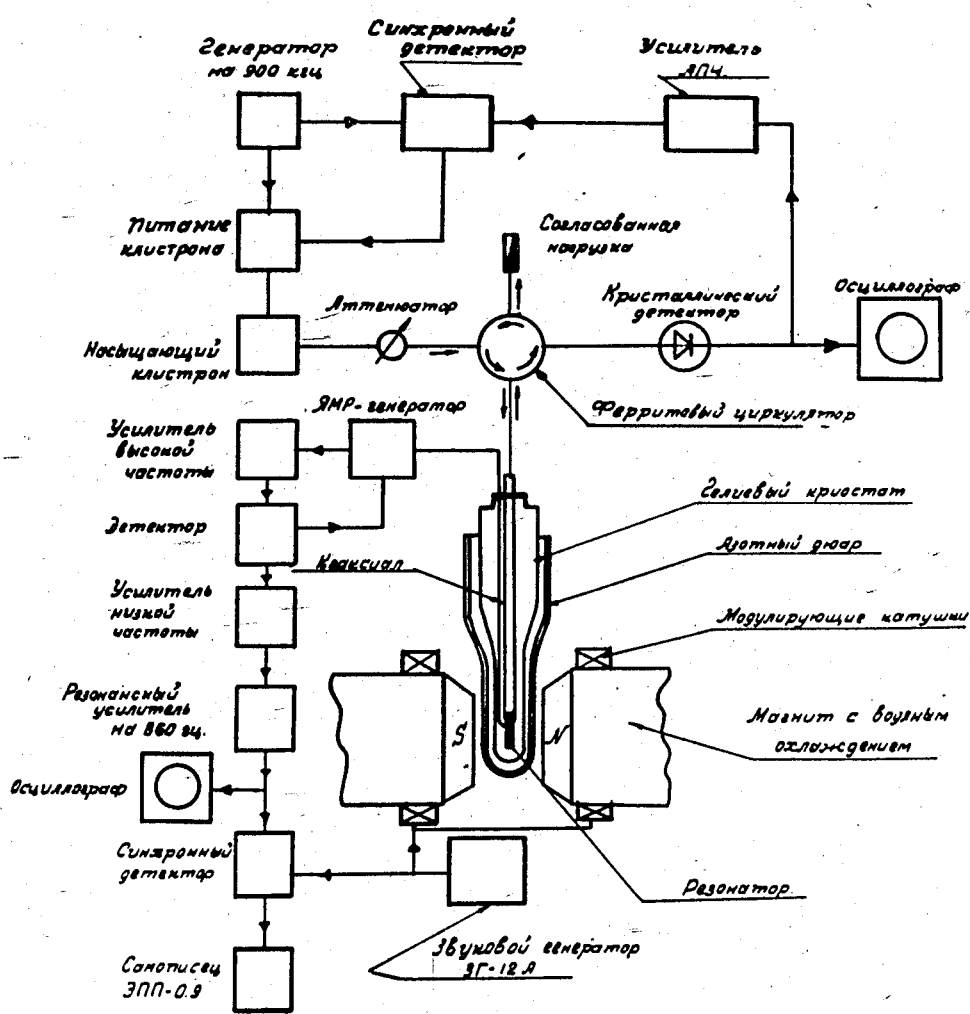
В работе исследовалась динамическая поляризация протонов полиэтилена, облученного быстрыми нейtronами.

/1/ получено увеличение протонной поляризации в 20 раз при наложении высокочастотного магнитного поля, насыщающего электронный резонанс "запрещенных переходов"  $F^-$ -центров, при температуре  $1.6^{\circ}\text{K}$  и поле  $3500 \text{ э}$ , что соответствует поляризации протонов  $0,45\%$ .

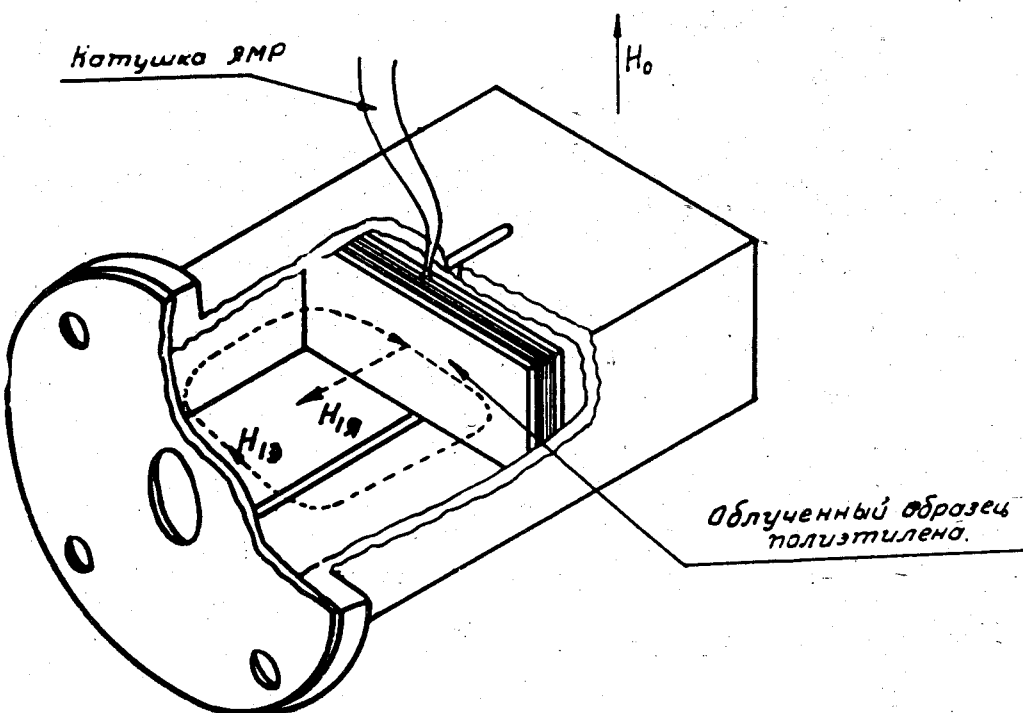
/2/ измерены времена ядерной и электронной релаксации при гелиевых температурах.

/3/ Мощность, необходимая для насыщения ЭПР, составляет 1 мвт при температуре  $4.2^{\circ}\text{K}$  и добротности резонатора  $Q = 2000$ .

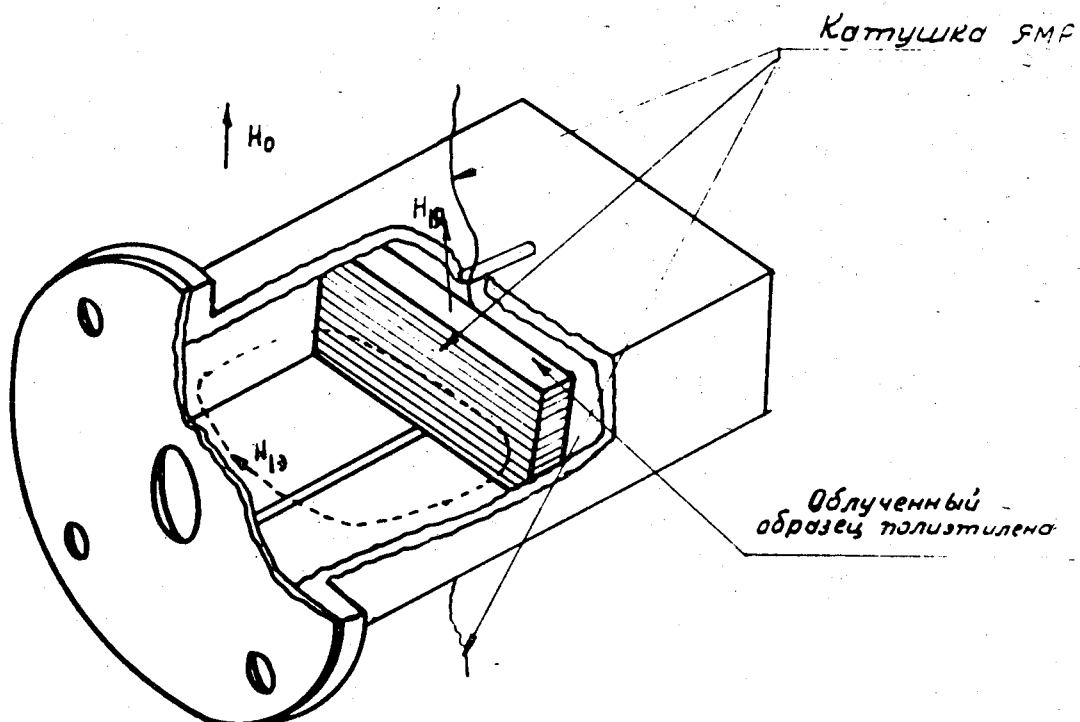
В заключение авторы пользуются случаем выразить благодарность Шапиро Ф.Л. за постоянное внимание и интерес к работе, Миляеву В.А. за участие в измерениях времени электронной релаксации, Крупчикому П.А. за содействие в облучении образцов полиэтилена и Кокореву Б.И. за помощь в работе.



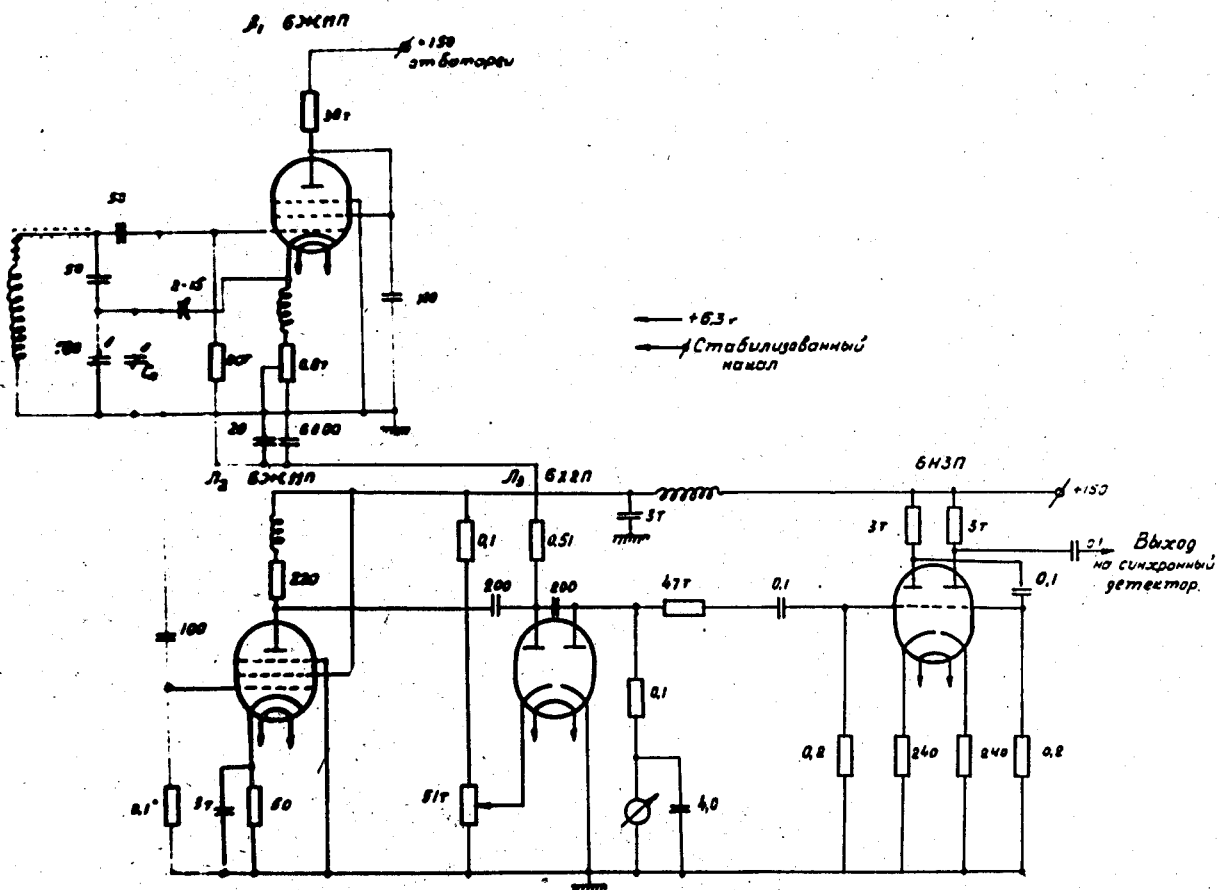
Р и с. 1. Блок-схема установки для наблюдения двойного электронно-ядерного резонанса.



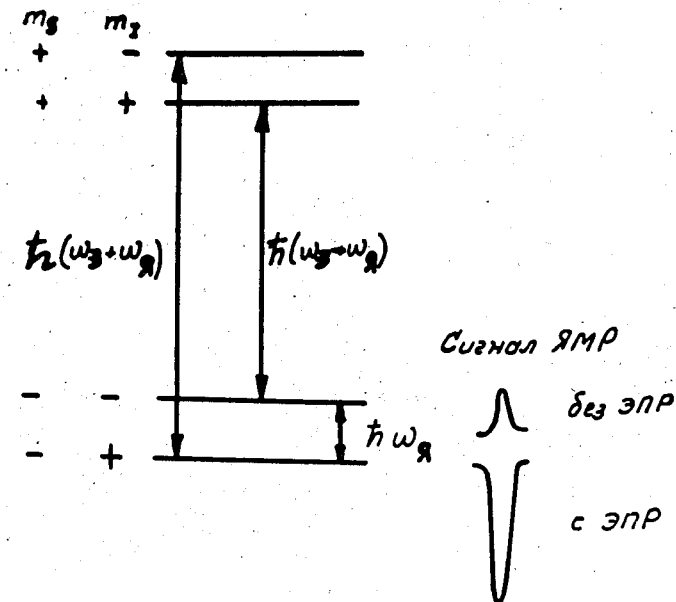
Р и с. 2. Расположение образца с контуром в резонаторе.  
Внутренняя катушка. Модификация /1/.



Р и с. 3. То же, что и на рис. 2. Модификация /2/.

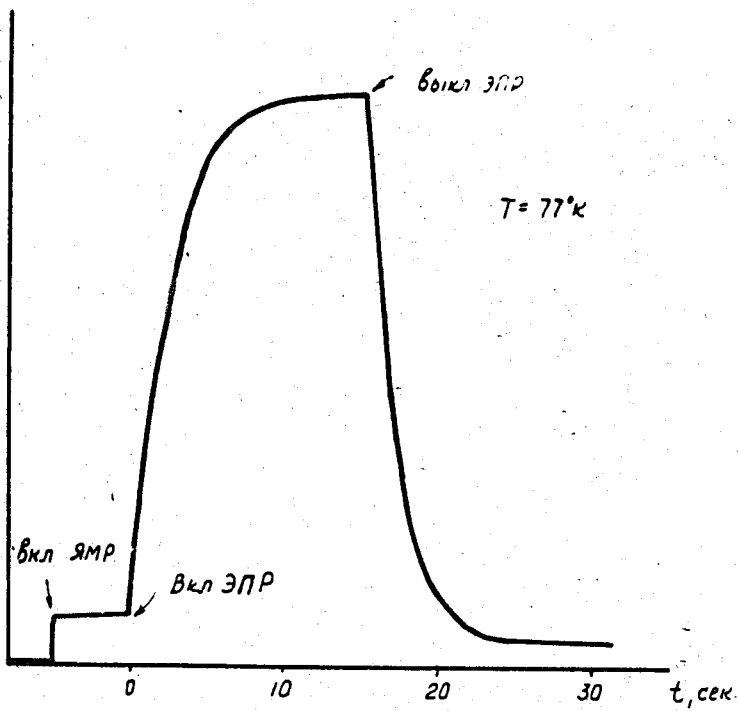


Р и с. 4. Модифицированная автодинная схема со стабилизацией уровня генерации.

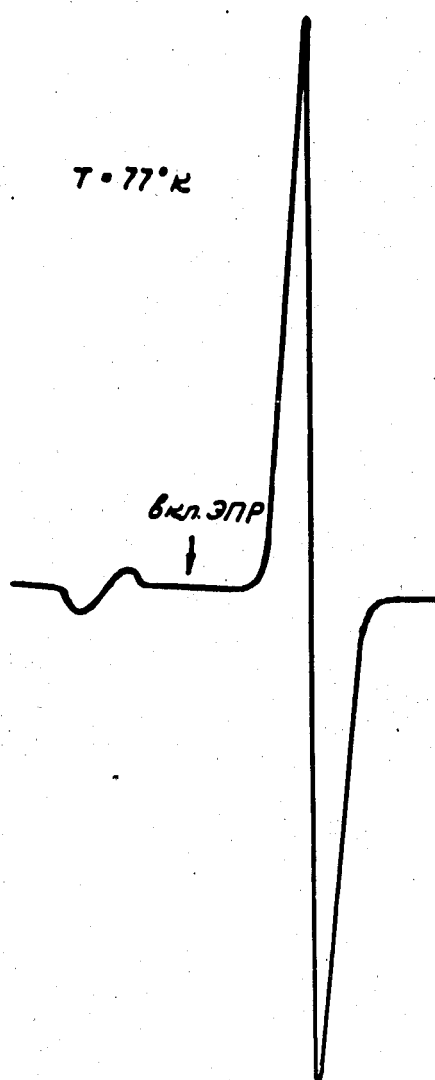


Р и с. 5. Схема уровней системы электрон-протон в сильном магнитном поле.

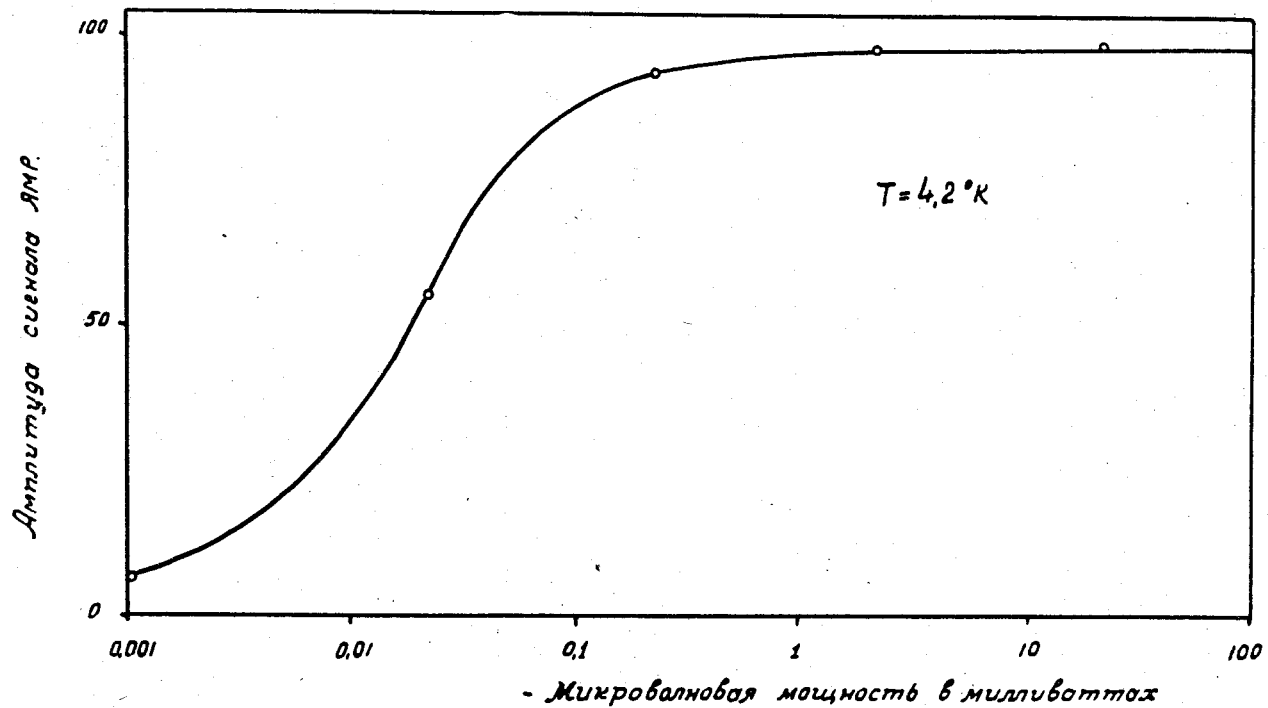
Амплитуда сигнала ЯМР



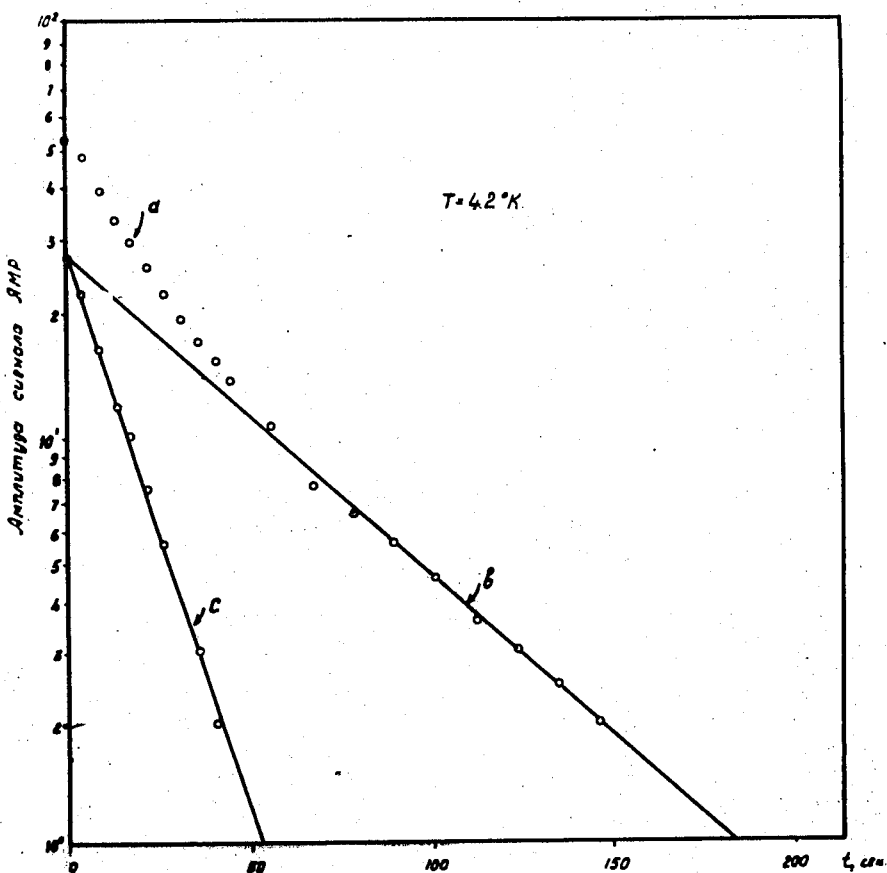
Р и с. 6. Релаксация сигнала ЯМР при  $77^{\circ}\text{K}$ .



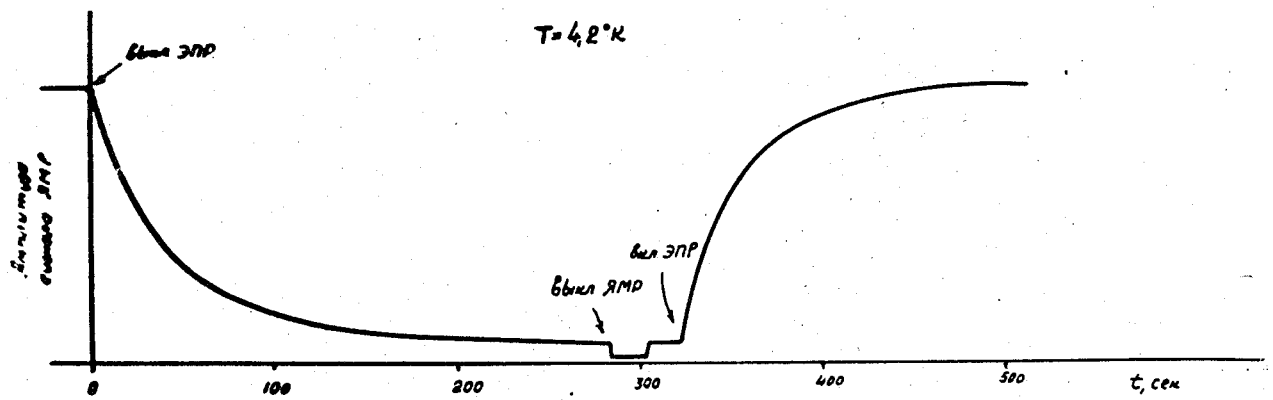
Р и с.. 7. Усиление сигнала ЯМР при  $77^{\circ}$  К.



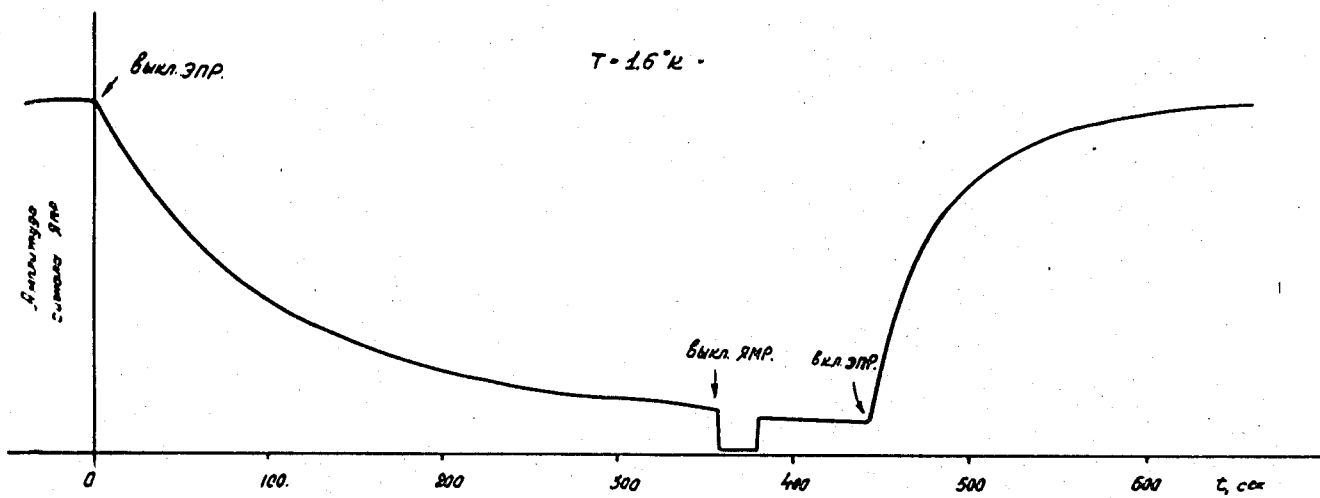
Р и с. 8. Зависимость усиления от мощности насыщения ЭПР при  $4.2^{\circ}\text{K}$ .



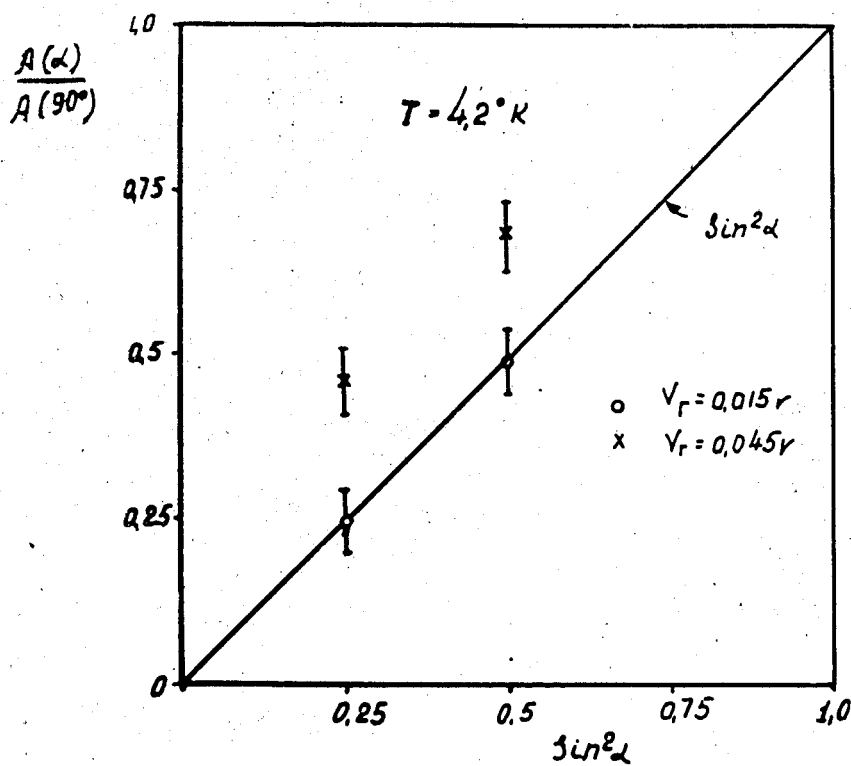
Р и с. 8. Разрушение поляризации протонов после выключения мощности, насыщающей ЭПР при 4.2°К.



Р и с. 10. Релаксационные кривые при  $4.2^{\circ}\text{K}$ .



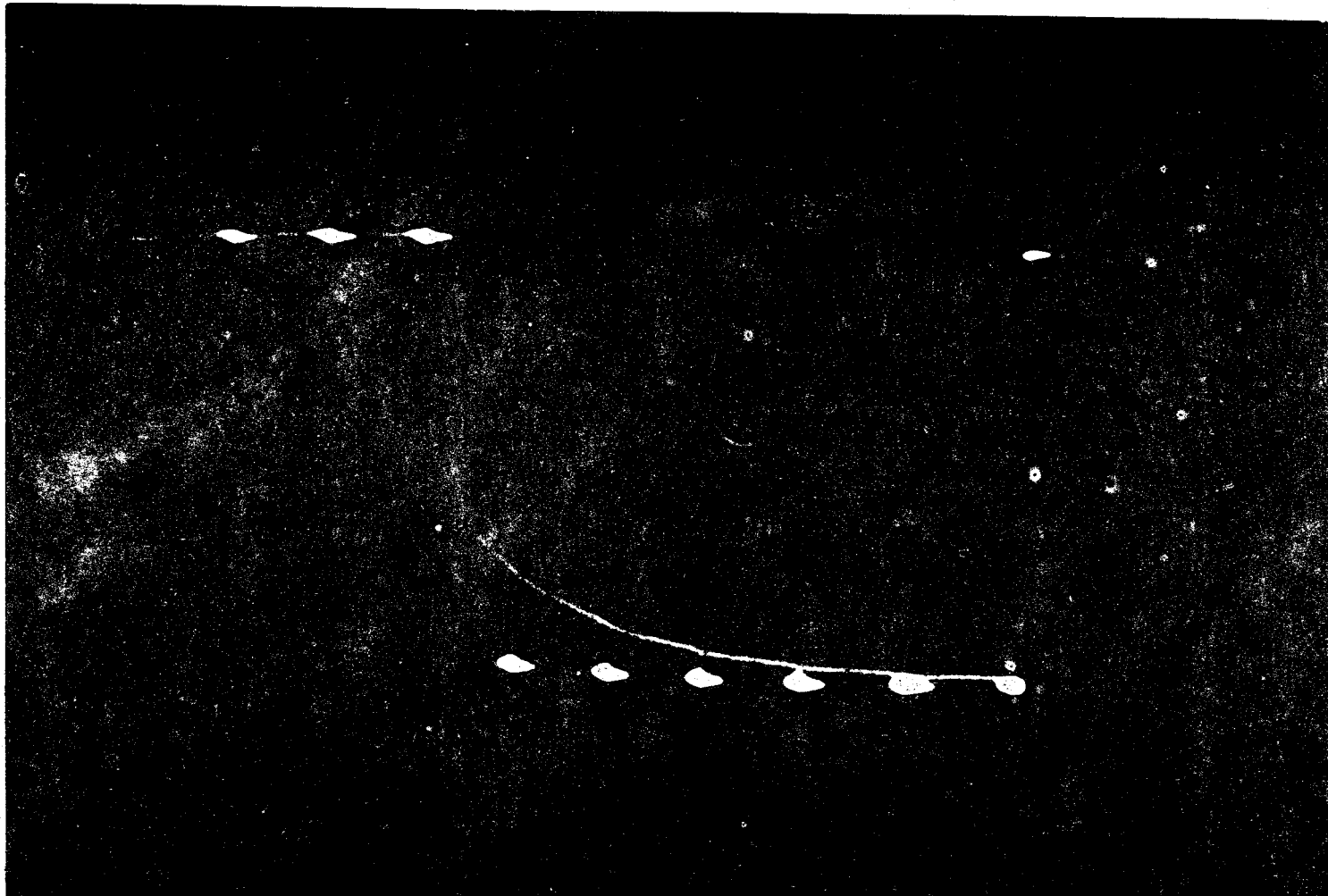
Р и с. 11. Релаксационные кривые при  $1.6^{\circ}\text{K}$ .



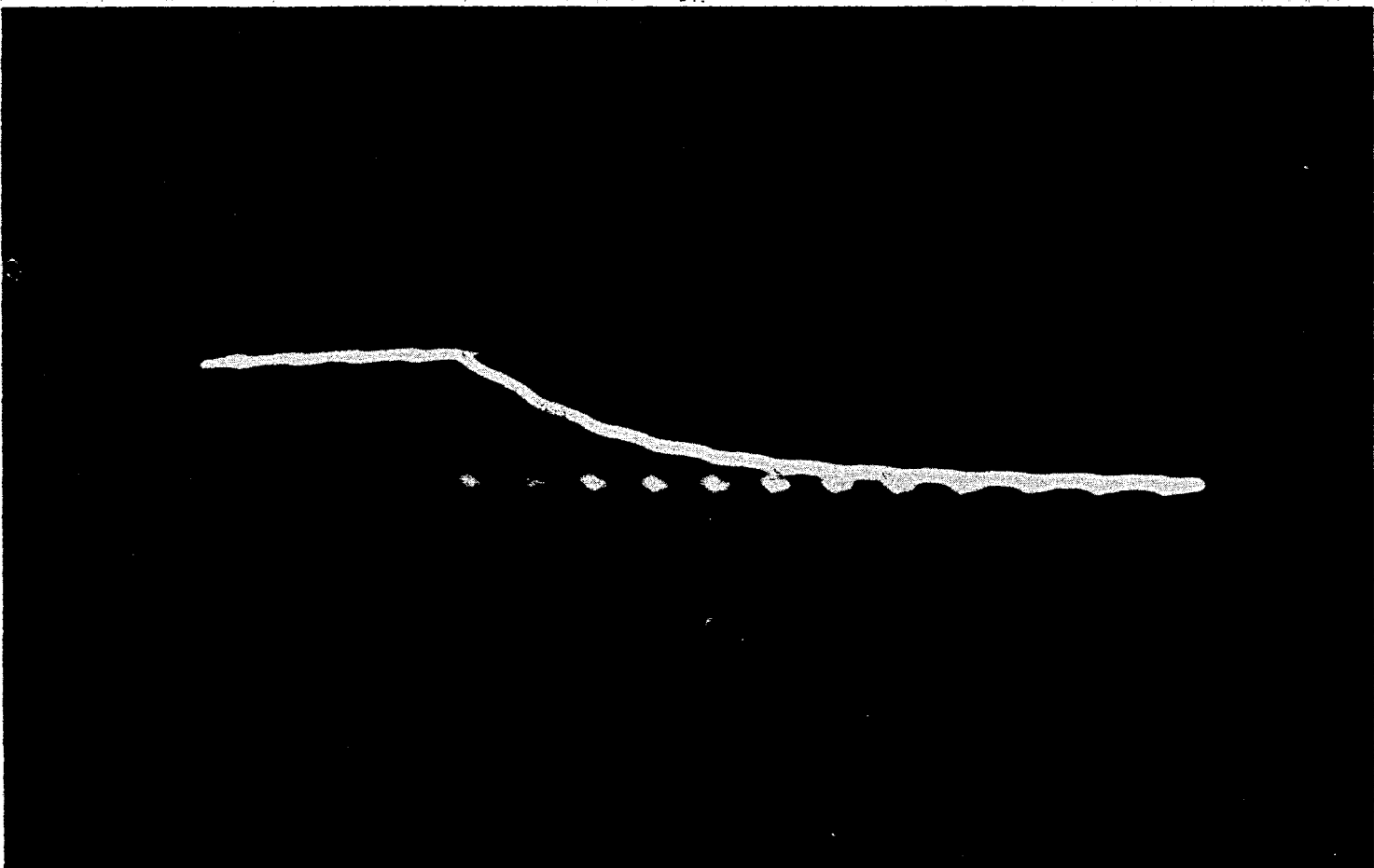
Р и с. 12. Зависимость амплитуды сигнала ЯМР от угла поворота магнита.



Р и с. 13. Усиление сигнала ЯМР при  $1.6^\circ\text{K}$ .



Р и с. 14. Электронная релаксация при  $1.6^{\circ}\text{K}$ . Метки времени через 200 м сек.



Р и с. 15.

Электронная релаксация при  $4.2^{\circ}\text{K}$ .  
Метки времени через 200 м сек.

Л и т е р а т у р а

1. E.Erb, I.L.Motchane, J.Uebersfeld, Compt.rend. 246, 2121 and 3050 (1958).
2. A.Abragam, W.G.Proctor, Compt. rend. 246, 2253 (1958).
3. C.Hwang, T.M.Sanolevs, Proceedings of the 7th International Conference on Low Temperature Physics, University of Toronto, 1960 , p. 98.
4. O.S.Leifson, C.D.Jeffries, Bull. Am. Phys. Soc. v.6, N3 (1960).
5. M.Abraham, M.A.H.Mc. Causland, F.N.H.Robinson, Phys.Rev.Lett. 2, 444 (1959).
6. M.Borghini, A.Abragam, препринт.
7. А.А. Маненков. Сборник докладов на совещании по параметрическому резонансу. Издательство Казанского университета, 1960.
8. А.А. Маненков, В.А. Миляев. ЖЭТФ, 41, 100 /1961/.
9. Эндрю Э., Ядерный магнитный резонанс, ИЛ, Москва, 1957.

Рукопись поступила в издательский  
отдел 28 июня 1961 г.